

## Raport stiintific sintetic

Activitatile desfasurate in primul an al proiectului au vizat atat partea de analiza a datelor experimentale cat si dezvoltari fenomenologice si teoretice dupa cum urmeaza:

1. Distributii de impuls transvers pentru evenimente cu multiplicitate mare si aproape izotrope in ciocniri pp la 7 TeV in experimentul ALICE la LHC

- a. Dependenta de multiplicitate a corectiei de eficienta

Corectitudinea construirii distributiilor de impuls transvers din datele experimentale este in mod esential conditionata de corectitudinea determinarii eficientei de reconstructie. De asemenea in studiile abordate in acest proiect se pune problema dependentei corectiei de eficienta de selectia dupa multiplicitate si forma evenimentului. De aceea, in cadrul studiilor privind particulele incarcate a fost determinata eficienta ca functie de multiplicitatea estimata din "global tracks" cu procedura de "weighting" si aceea ca functie de multiplicitatea combinata, pentru a determina care selectie este cea mai putin dependenta de multiplicitate in raport cu datele de "minimum bias". In Figura 1 se poate vedea raportul dintre eficienta determinata in bini de multiplicitate si cea de la minimum bias.

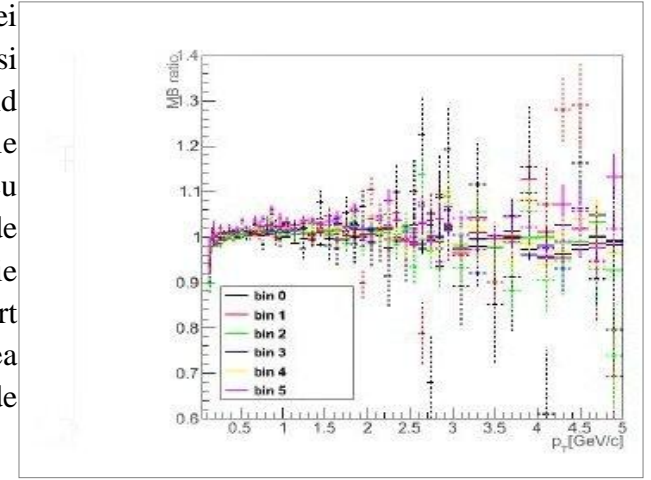


Fig. 1

- b. Estimarea contaminarii distributiilor din dezintegrarile slabе si interactiile secundare cu materialul detectorului

O alta corectie esentiala in determinarea distributiilor de impuls transvers este aceea care se face pentru a elimina contaminarea datorata emisiei ca urmare a dezintegrarilor slabе si cea datorita interactiei particulelor primare cu materialul detectorului. In studiile noastre este foarte importanta estimarea dependentei acestei corectii de multiplicitate si forma evenimentului. Au fost facute estimari ale contributiei acestor procese pentru distributiile de impuls transvers ale particulelor incarcate si ale particulelor incarcate pozitiv in diferiti bini de multiplicitate pentru multiplicitatea estimata din "global tracks" sau multiplicitatea combinata. Concluzia a fost ca aceste corectii nu depind de multiplicitate (cu exceptia binului corespunzand celei mai mari multiplicitati care a fost investigata ulterior cu statistica mult mai mare) asa cum se poate

vedea din Fig. 2 (stanga - "global tracks", dreapta - multiplicitatea combinata).

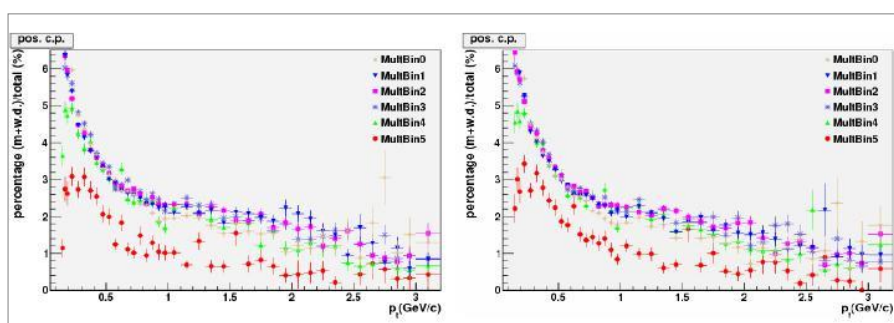


Fig. 2

Acste studii au fost raportate la intalnirile grupului de fizica din cadrul Colaborarii ALICE din care facem parte si in doua note interne ALICE.

## 2. Dependența de centralitate a densității de particule încărcate la mid-rapiditate în ciocniri cu ioni grei relativisti-scalarea în energie

Una dintre observabilele care sunt sensibile la mecanismul de producere de particule și structura partonica a obiectelor care se ciocnesc este densitatea de particule încărcate și dependența sa de geometria ciocnirii. Există informație detaliată în ceea ce privește dependența de centralitate a densității de particule încărcate la midrapiditate în ciocnirile A+A incepând de la energiile AGS, la SPS și până la RHIC. La energiile SPS și AGS, în limita erorilor sistematice, densitatea de particule încărcate normată  $dNch/d\eta/(0.5N_{part})$  este destul de constantă ca funcție de centralitate, adică  $N_{part}$ , estimat pe baza modelului Glauber. Desi dependența formei  $dNch/d\eta/(0.5N_{part})$  de  $N_{part}$  este destul de asemănatoare la 130 și 200 GeV, se poate observa o usoară creștere a densității de particule încărcate de la ciocnirile periferice la cele centrale. Această comportare este destul de intensificată la energia LHC de 2.76 TeV unde datele publicate de ALICE, ATLAS și CMS sunt în acord remarcabil. Așa cum este de așteptat și confirmat de modelul Glauber Monte Carlo în ciocniri foarte periferice, unde cele două zone de difuzie ale celor două nuclee în ciocnire se suprapun, au loc cu preponderență ciocniri binare și deci densitatea de particule încărcate normată ar trebui să aibă aceeași valoare ca și densitatea de particule încărcate în ciocniri inelastice nucleon+nucleon. Pe baza masurătorilor de la ISR, RHIC și LHC pentru ciocnirile p+p se pot obține factorii de scalare  $(dNch/d\eta)_{pp}^{2.76 \text{ TeV}}/(dNch/d\eta)_{pp}^{0.2 \text{ TeV}}$  și  $(dNch/d\eta)_{pp}^{2.76 \text{ TeV}}/(dNch/d\eta)_{pp}^{0.0196 \text{ TeV}}$ . Pe baza modelului Glauber Monte Carlo s-au estimat factorii de scalare bazati pe numărul mediu de ciocniri suferite de nucleonii implicați în interacție:  $\langle N_{coll}^{2.76 \text{ TeV}} \rangle / \langle N_{coll}^{0.2 \text{ TeV}} \rangle$  și  $\langle N_{coll}^{2.76 \text{ TeV}} \rangle / \langle N_{coll}^{0.0196 \text{ TeV}} \rangle$  ca funcție de  $N_{part}$ . Multiplicand densitatile de particule încărcate la 19.6 și 200 GeV normate, cu factorii descriși mai sus, se obțin date care se compara cu rezultatele de la 2.76 TeV (Fig. 3). Astfel, o scalare cu energia a dependenței de centralitate a densității de particule încărcate la midrapiditate, bazată pe raportul dintre densitatea de particule încărcate în ciocniri inelastice pp și numărul mediu de ciocniri suferite de nucleonii atinsă la o centralitate data la energiile corespunzătoare, se arată ca fiind valabilă în limita erorilor experimentale.

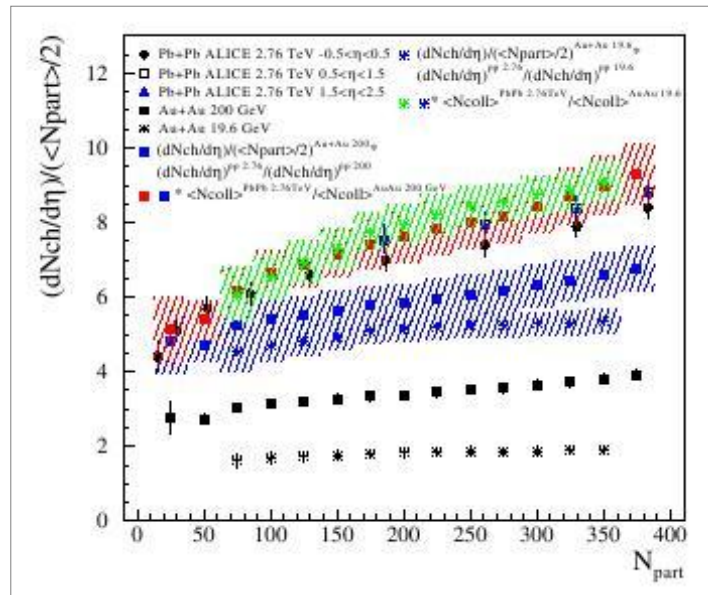


Fig. 3

## 3. Predictii pentru p+Pb la 5.02A TeV pentru a testa umbrirea nucleară din stare initială la LHC

Modelele de tip Monte Carlo HIJING1.0, HIJING2.0 și HIJING/BB2.0 au fost dezvoltate pentru a studia producerea hadronilor în ciocniri p+p, p+A și A+A. Ele sunt esențialmente modele cu două componente care descriu procesele “hard” și “soft”. Producerea jeturilor se calculează folosind minijetul multiplu factorizat coliniar în cadrul pQCD. O tăietură  $p_0$  trebuie introdusă în impulsul transvers rezultat în urma producerii

jetului final, sub a carui valoare interactia este considerata neperturbativa si e caracterizata de sectiunea partonica "soft". Rezidurile nucleonilor interactioneaza prin schimb de gluoni "soft" descris de modelele stringurilor. Perechile de jeturi "hard" produse si cele doua reziduri excitate sunt tratate ca stringuri independente care se fragmenteaza in rezonante care se dezexcita in hadronii finali. Fragmentarile stringului in jeturi depind puternic de valorile tensiunii stringurilor. In HIJING1.0 si HIGING2.0 se foloseste o constanta pentru valoarea efectiva a tensiunii stringului,  $k_0=1.0$  GeV/fm. La energie incidenta initiala mare fizica nucleara noua se datoreaza posibilitatii suprapunerii tubului de flux longitudinal multiplu care conduce la efecte tari ale campului de culoare longitudinal. Efectele campului de culoare tari sunt modelate in HIJING/BB2.0 variind valoarea tensiunilor stringurilor efective. Pentru a descrie datele din ciocniri p+p si Pb+Pb centrale la LHC s-a aratat ca trebuie luata in considerare o dependenta de energie si masa a valorii medii a tensiunii stringului. Toate modelele de tip HIJING implementeaza efecte nucleare cum ar fi modificarea nucleara a functiilor de distributie partonica, adica "shadowing" si "jet quenching" printr-un proces indus de rupere a partonilor in mediul. Daca in primele doua modele se foloseste o taiere constanta  $p_0=2$  GeV/c si o sectiune partonica "soft"  $\sigma_{\text{soft}}=54$  mb, in HIJING/BB2.0 pentru ciocnirile A+A s-a introdus o dependenta de energie si masa a parametrului de taiere  $p_0(s,A)$  la energiile RHIC si LHC pentru a nu viola limita geometrica pentru numarul total de minijeturi pe unitatea de arie transversa. Una dintre incertitudinile principale in calculul densitatii de multiplicitate de particule incarcate in ciocnirile Pb+Pb este modificarea nucleara a functiilor de distributie partonica, in special distributiile gluonice la  $x$  mici. In modelele de tip HIJING se presupune ca distributiile partonice intr-un nucleu sunt factorizabile intr-o distributie partonica in nucleon si factorul de umbrire partonic. In calculele facute aici se presupune ca efectul de umbrire pentru gluoni si quarci este acelasi, si se negligeaza evolutia QCD. Au fost facute calcule ale  $dN_{\text{ch}}/d\eta$  si  $R_{\text{pPb}}$  ca functie de pseudorapiditate si ale  $(1/2\pi p_T)d^2N_{\text{ch}}/dp_T d\eta$  si  $R_{\text{pPb}}$  ca functie de  $p_T$  pentru  $|\eta|<0.8$  pentru minimum bias si centralitate 0-20% (Fig. 4 si 5) in ciocnirea p+Pb la 5.02 TeV.

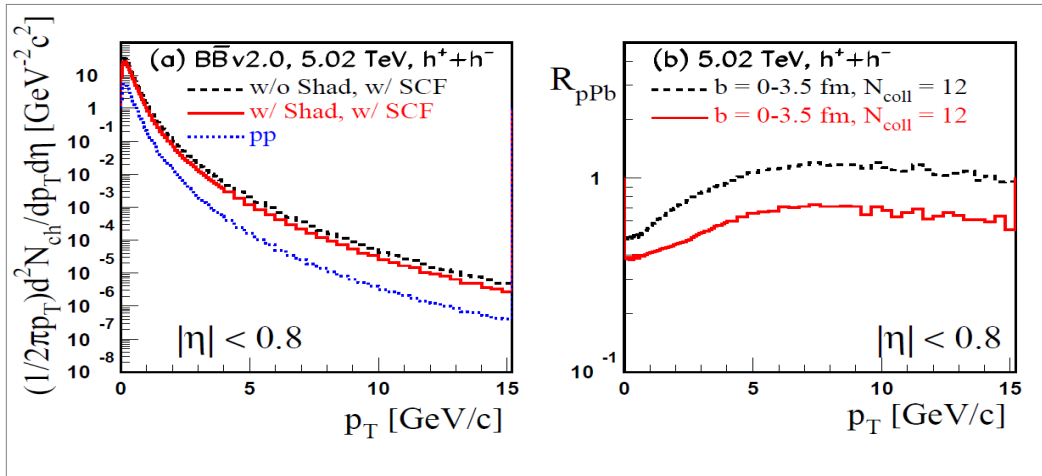


Fig. 4

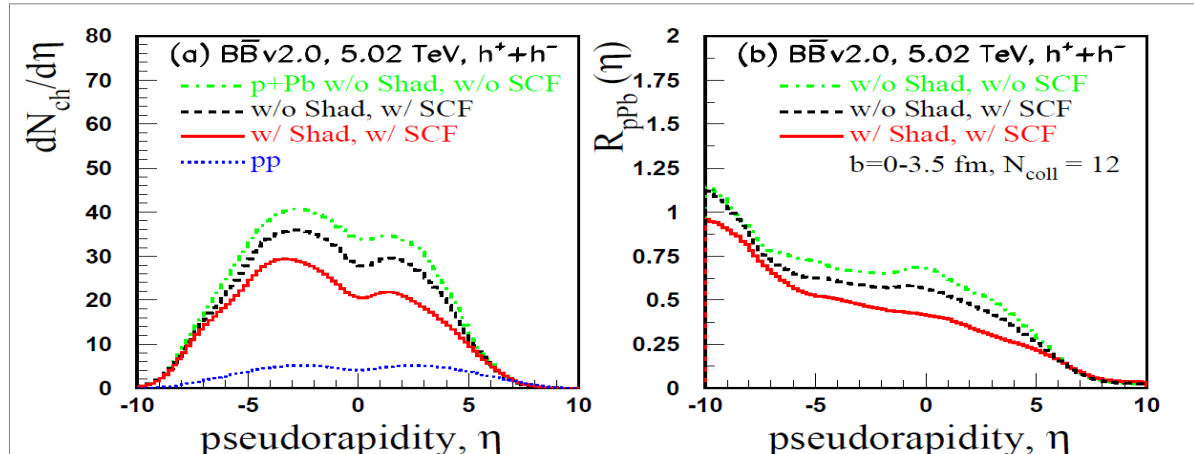


Fig. 5

Astfel, chiar cu un esantion mic de  $10^6$  evenimente studiul  $R_{pPb}(p_T)$  sau al factorului de modificare nuclear central fata de periferic (RCP( $p_T$ ) se poate da o constrangere definita asupra umbririi nucleare implementate in diferite modele inspirate de pQCD si modele CGC de saturatie, cu un impact mare asupra interpretarii rezultatelor obtinute in ciocniri nucleu-nucleu (Pb+Pb) la energiile LHC.

Activitatile desfasurate in al doilea an al proiectului au vizat continuarea analizei datelor experimentale obtinute folosind aranjamentul experimental ALICE de la LHC-CERN in interactia  $p + p$  la energia de 7 TeV, a dezvoltarilor fenomenologice si teoretice.

Au fost efectuate studii detaliate privind dependenta de multiplicitate a corectiilor ce trebuie aplicate spectrelor brute de impuls transvers pentru particulele incarcate si hadronii cu sarcina pozitiva identificati in vederea obtinerii spectrelor primare:

- eficiența de reconstrucție a traiectoriilor particulelor incarcate
- eficiența de potrivire in pozitie intre detectorul TPC si TOF
- eficiența de identificare a hadronilor cu sarcina pozitiva
- impuritati
- contaminari provenite din dezintegrarile slabе si din interactia particulelor incarcate cu materialul detectorului
- eficiența trigerului si de reconstructie a vertexului

precum si a a erorilor sistematice provenite din:

- reconstructia traiectoriilor
- metoda de obtinere a probabilitatilor de pornire in metoda Bayesian de identificare
- contaminarile din speciile de hadroni invecinati
- eficiența de identificare
- particulele secundare

In Tabelul I, prima coloana, sunt prezentate domeniile de multiplicitate in care s-au efectuat analizele de spectre de moment transversal.

Combined	Generated (PYTHIA)		
	bin limits	Mean	Sigma
0 - 6	0 - 6	3.4	1.7
7 - 12	7 - 12	9.1	2.2
13 - 19	13 - 20	15.9	2.6
20 - 28	21 - 29	23.7	3.2
29 - 39	30 - 41	33.2	3.7
40 - 49	42 - 51	44.1	3.7
50 - 59	52 - 62	-	-
60 - 71	63 - 74	-	-
72 - 82	75 - 86	-	-

Tabel I

Tabelul II este o prezentarea sintetica a erorilor sistematice.

	standard	low	high	pions	kaons	protons
MB	TPC clusters	70	60	80	0 - 4%	1 - 5% 0 - 3.5%
	TPC $\chi^2$	4	3	5	0.5 - 4%	0 - 6% 0 - 6%
	DCAz	2 cm	1 cm	3 cm	<1%	0.5 - 2% 0.5 - 1.5%
	Mismatch probability	<0.01	<0.009	<0.011	<1%	0.5 - 3.5% 1%
	TRD presence	all tracks	WITH TRD	WITHOUT TRD	1 - 6%	2 - 6% 1 - 4%
	Tracking		dedicated study		4%	4% 4%
multiplicity bins	Matching		dedicated study		3%	6% 4%
	PID priors	MB	mult <6	mult >49	<1%	0.5 - 2% 0.5 - 2%
	PID purity	none	-	>80%	0.5 - 4%	2 - 12% 1 - 4%
	tracking efficiency				<1%	2% 1%
	matching efficiency	MB	7 - 12	29 - 39	negligible	negligible negligible
	PID efficiency				<1%	0 - 30% 0 - 2%
	misidentified				<1%	<1% <1%
	secondary particles	MB	-	mult >49	<0.5%	- 0.5%

Tabel II

Fig.6 prezinta spectrele finale de impuls transvers pentru particulele incarcate pentru 8 domenii de multiplicitate.

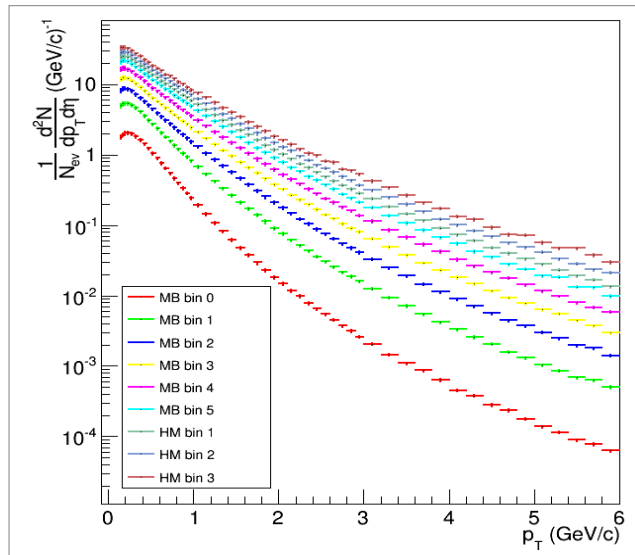


Fig.6

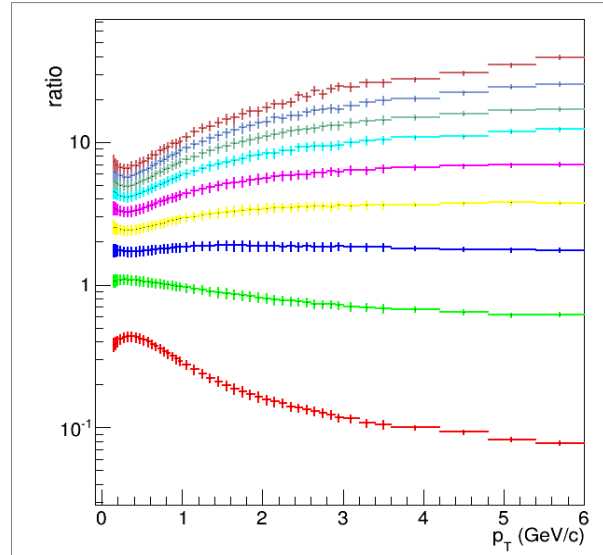


Fig.7

Rapoartele intre spectrele de impuls transvers pentru diferite multiplicitatii relativ la spectrul corespunzator neconditionarii in multiplicitatea de particule incarcate, culoarea rosie, sunt prezentate in Fig.7. Se poate observa o diminuare a raportului la valori mici ale impulsului transvers, diminuare care se intensifica cu cresterea multiplicitatii, urmata de o crestere pana la valori ale lui  $p_T$  in jur de 2,5 GeV/c dupa care cresterea are o panta foarte mica indicand o saturare la valori ale momentului transvers mai mari de 6 GeV/c.

Diminuarea rapoartelor la valori mici ale momentului transversal, care se accentueaza odata cu cresterea multiplicitatii, pare a indica existenta unei expansiuni de tip colectiv.

Pentru obtinerea valorii medii a impulsului transvers  $\langle p_T \rangle$ , spectrele experimentale au fost potrivite cu diverse expresii sugerate de modele fenomenologice precum Hagedorn modificat, Levy-Tsallis, UA1 si o combinatie intre o distributie exponentiala tip Boltzmann si o putere a impulsului transvers propusa de Bylinkin. Cele mai bune potriviri au fost obtinute folosind ultima expresie. Prin urmare, extrapolarea spectrelor experimentale la valori mai mici ale impulsului transvers decat cele masurate experimental s-a facut pe baza acesteia. Rezultatele obtinute pentru  $\langle p_T \rangle$  in intervalele de multiplicitate alese sunt prezentate in Fig.8.

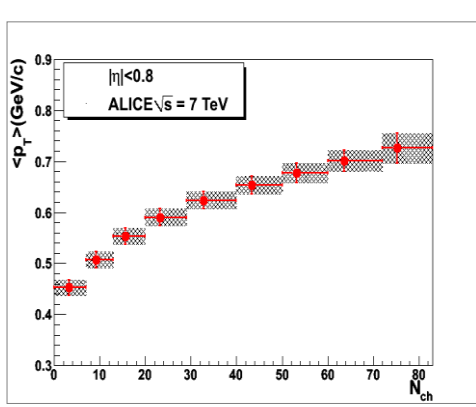


Fig.8

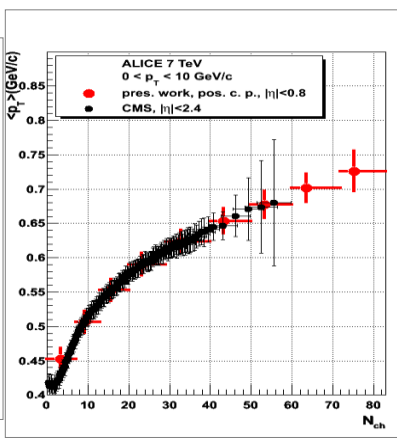


Fig.9

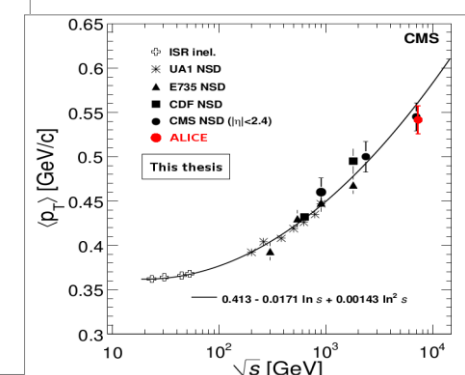


Fig.10

In Fig.9 se face o comparatie intre rezultatele obtinute de noi si cele obtinute in Colaborarea CMS. Asa cum se poate vedea, concordanța este excelentă, datele noastre mergând până la multiplicități mai mari decât cele obtinute de Colaborarea CMS. In Fig. 10 este prezentată valoarea lui  $\langle p_T \rangle$  fără nici o condiție în multiplicitatea de particule încărcate prin simbolul roșu. În limita barelor de erori, rezultatul nostru

corespunde valorii prezise folosind extrapolarea rezultatelor obtinute anterior la energii mai mici si este in perfecta concordanta cu valoarea gasita de Colaborarea CMS.

Se lucreaza in prezent la potrivirea spectrelor experimentale cu expresii de tip Boltzmann-Gibbs Blast Wave pentru a obtine temperatura de freeze-out kinetic, viteza de expansiune si profilul acesteia. In urmatoarea etapa se vor face investigari legate de evolutia rezultatelor prezentate functie de forma de eveniment.

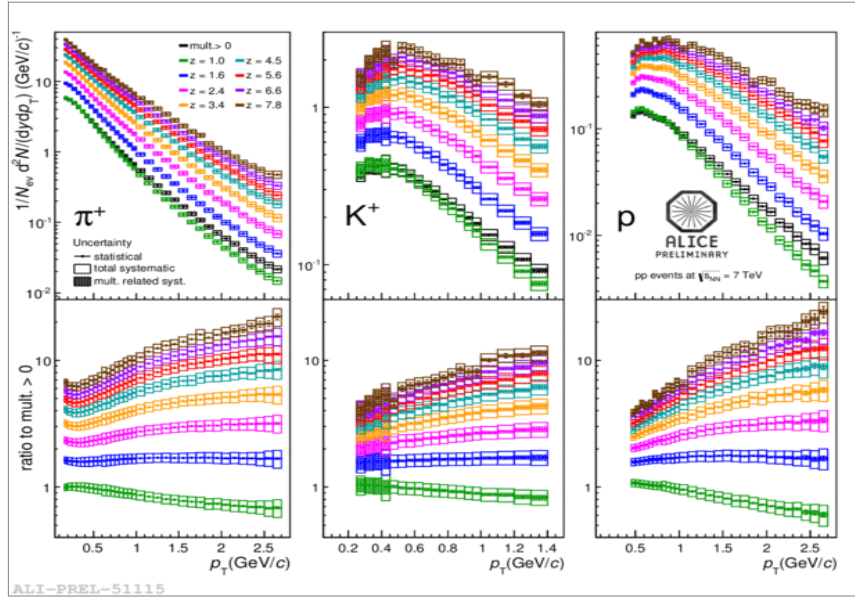


Fig.11

In paralel s-a facut analiza de identificare a hadronilor incarcati pozitiv  $\pi^+$ ,  $K^+$  si protoni (p) si obtinerea spectrelor de  $p_T$  pentru acestia. Identificarea s-a facut folosind metoda Bayesian. Spectrele rezultate pentru cele 8 domenii de multiplicitate si fara conditionarea in multiplicitate (MB) sunt prezentate in Fig.11, randul de sus. Pe randul de jos sunt prezentate rapoartele spectrelor pentru diverse intervale de multiplicitate relativ la spectrul MB. Tendinta din rapoartele similare corespunzatoare particulelor incarcate, discutata mai sus, se observa, dupa cum era de asteptat, si in cazul hadronilor incarcati identificati, fenomenul accentuandu-se cu marirea masei hadronului, respectiv mergand de la pioni la protoni. Aceasta tendinta, similara cu cea observata in cazul ciocnirii Pb+Pb la energia de 2,76 TeV argumenteaza si mai puternic ipoteza existentei expansiunii de tip colectiv. Un argument suplimentar care suporta aceasta explicatie se poate urmari in Fig.12 unde sunt prezentate rapoartele relative de producere a diverselor specii de hadroni pozitivi functie de  $p_T$  randul de sus si rapoartele acestora relativ la raportul coresunzand la MB pe randul de jos.

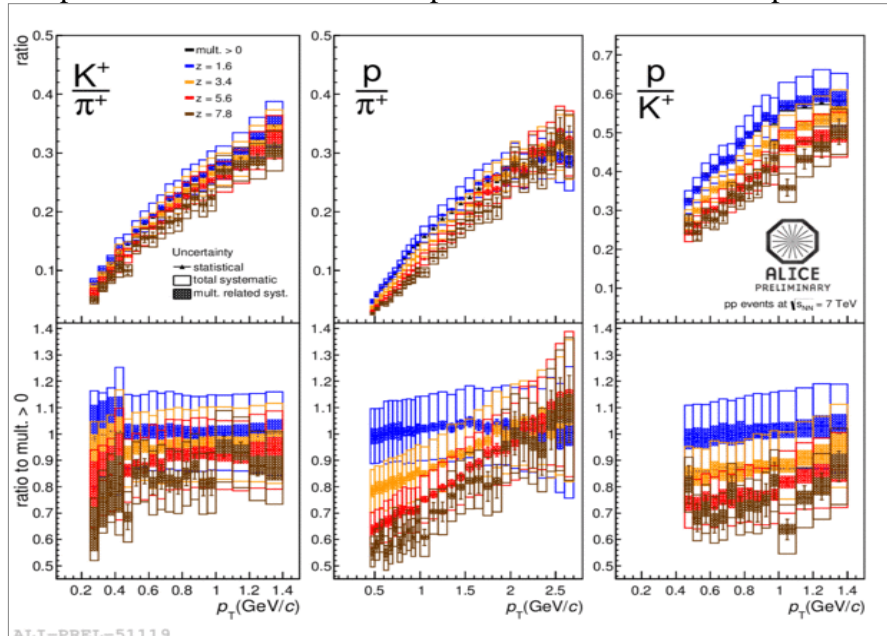


Fig.12

Similar procedurii folosite in cazul particulelor incarcate, s-au obtinut valorile medii  $\langle p_T \rangle$  pentru  $\pi^+$ ,  $K^+$  si  $p$  care sunt prezentate in Fig.13. Se poate observa o crestere a valorii medii a impulsului transvers functie de multiplicitate pentru toate cele trei specii, cresterea depinzand de masa particulei. Reprezentand  $\langle p_T \rangle$  functie de masa particlei pentru diverse domenii de multiplicitate, Fig. 14, se evidentaaza o crestere a pantei lui  $\langle p_T \rangle$  functie de masa cu cresterea multiplicitatii de particule incarcate. Acest lucru evidentiaza clar existenta unei miscari de ansamblu de tip colectiv peste care se suprapune o distributie de tip statistic.

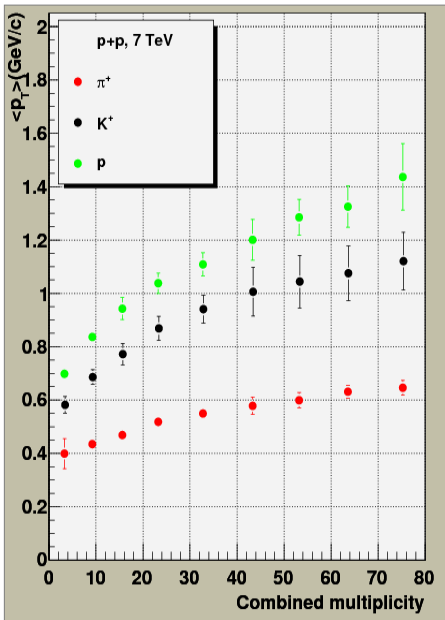


Fig.13

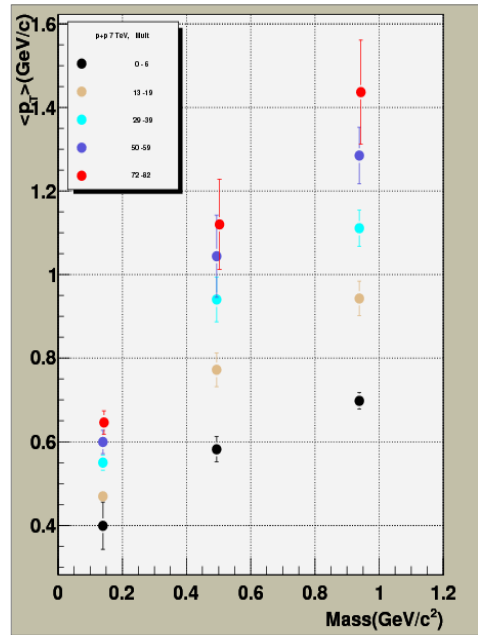


Fig.14

Dupa cum s-a mentionat si in cazul particulelor incarcate, se lucreaza in prezent la potrivirea simultana a spectrelor experimentale pentru o multiplicitate data cu expresii de tip Boltzmann-Gibbs Blast Wave pentru a obtine temperatura de freeze-out cinetic, viteza de expansiune si profilul acestaia, urmata de investigari legate de evolutia rezultatelor prezentate functie de forma de eveniment.

Rezultatele obtinute au fost raportate periodic in cadrul grupelor de lucru de analiza si fizica din cadrul Colaborarii ALICE, Spectra PAG si respectiv PWG-LF, si au facut subiectul a doua note detaliate interne ALICE. De mentionat ca Fig. 11 si Fig. 12 au fost acreditate ca figuri oficiale ale Colaborarii ALICE. La ora actuala sunt in curs redactare 2 lucrari care vor contine rezultatele prezentate pe scurt in cadrul acestui raport.

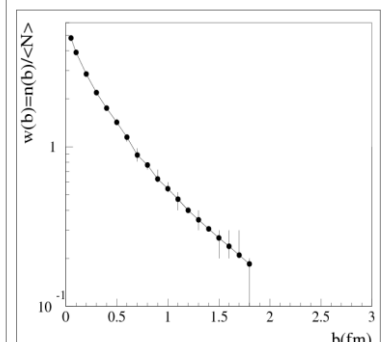
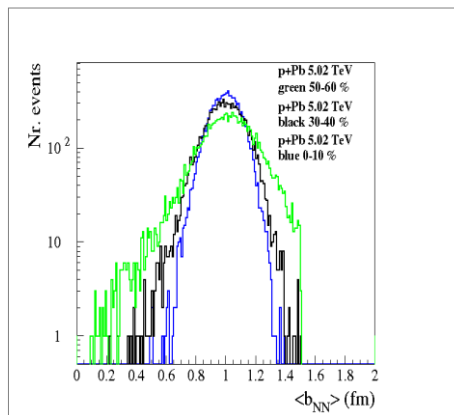
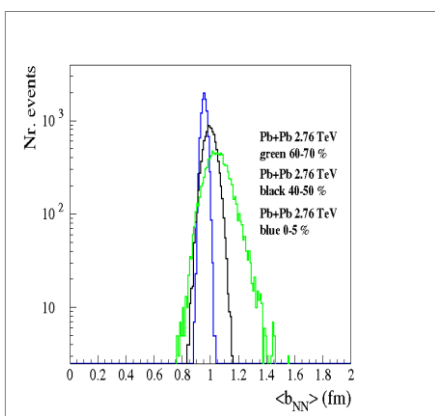


Fig.15

In aceeasi perioada au fost facute estimari bazate pe modelul Glauber a distantele medii intre centroidele nucleonilor care participa la interacție pentru sistemele Pb+Pb la energia de 2,76 TeV și p+Pb la energia de 5.02 TeV și comparate cu parametrul de impact în ciocnirea p+p la energia de 7 TeV folosind distribuția de multiplicitate a particulelor încărcate și diverse parametrizări ale distribuției de materie hadronică în proton, esențiale în înțelegerea asemănărilor și diferențelor din comportarea diverselor observabile experimentale în interacțiile Pb+Pb, p+Pb și p+p la energiile LHC. Rezultatele sunt prezentate în Fig.15.

Au fost investigate efectele interacției tari, a fenomenelor de umbră și pierdere de energie asupra producării prompte a mezonilor cu charm  $D^0$ ,  $D^+$ ,  $D^{*+}$ ,  $D_s^+$  în ciocnirile centrale Pb + Pb la energia de 7 TeV. Estimările teoretice în termeni de spectre de impuls transvers și factor de modificare nuclear,  $R_{AA}(pT) = (1/N_{AA}^{evt})d^2N_{AA}/d^2p_T dy / N_{coll}(1/N_{pp}^{evt})d^2N_{pp}/d^2p_T dy$ , au fost comparate cu datele experimentale obținute în cadrul Colaborării ALICE.

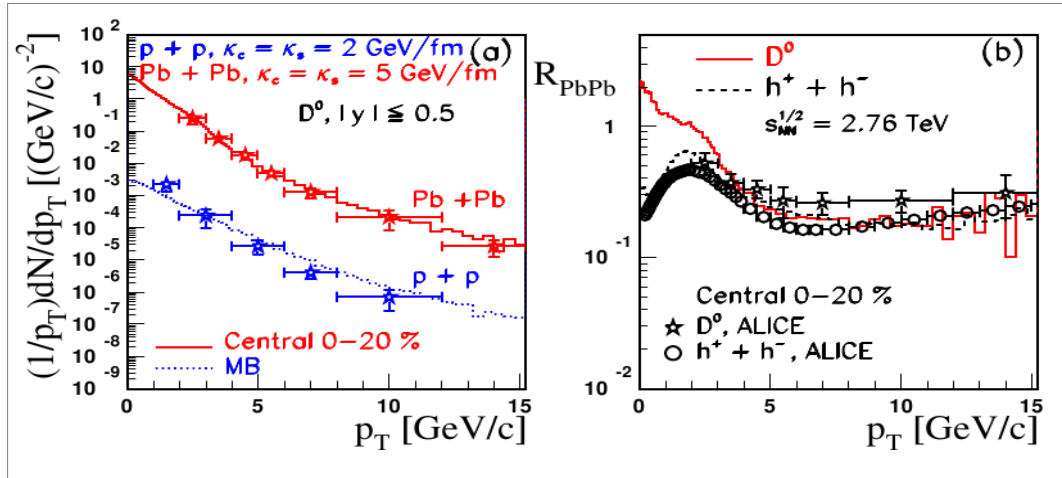


Fig.16

După cum se poate observa în Fig.16, atât spectrele de impuls transvers cât și factorul de modificare nuclear ca funcție de  $p_T$  reproduc foarte bine rezultatele experimentale, evidențierind astfel importanța luării în considerare a efectelor menționate mai sus. Taria de interacție, caracterizată prin asa numita tensiune a stringului și pierderea de energie la nivel partonic contribuie la suprasia observată în factorul de modificare nuclear în acord cu datele experimentale. Calcule bazate pe același model au fost efectuate și pentru p + p la energiile de 2,76 TeV și 7 TeV, acestea constituind date de referință pentru cazul Pb + Pb.

In perioada desfasurarii etapei actuale a proiectului, grupul nostru a avut 29 prezentari in cadrul grupelor de lucru ale Colaborării ALICE, au fost redactate 4 note interne ale Colaborării ALICE, au fost publicate 94 articole in reviste ISI, 1 prezentare si 2 postere la Conferinte Internationale la care suntem co-autori, lista acestora fiind inclusa in baza de date a proiectului.

Director proiect,

Prof. Dr. Mihai Petrovici